

تاریخ دریافت: ۱۳۹۴/۸/۲۳

تاریخ پذیرش: ۱۳۹۵/۴/۲۰

# تحلیل آماری و سینوپتیکی توفان‌های تندری استان کهگیلویه و بویر احمد

حسن لشکری

دانشیار گروه جغرافیای طبیعی دانشگاه شهید بهشتی

زهرا یارمرادی

دانشجوی دکترای اقلیم دانشگاه لرستان

حسن موسوی

دانشجوی دکترای اقلیم شناسی دانشگاه شهید بهشتی

کنته‌های این توفان‌ها انتخاب و مورد بررسی قرار گرفت سپس شدیدترین مورد را با توجه به معیارهای لحاظ شده انتخاب و به صورت کاملاً مبسوط تشریح شد. نتایج نشان داد که عامل بوجود آورنده این تندرها، سامانه‌های سودانی بوده که به دلیل برخورداری از پتانسیل رطوبت پذیری بالا (به دلیل شکل گیری بروی خشکی‌های گرم جنب استوا) و دریافت رطوبت فراوان از دریاهای گرم عرب و عمان و دریای سرخ از انرژی پتانسیل بالایی برخوردار هستند. در نتیجه با آزادسازی گرمای بادرروی قابل توجه توفان‌های تندری شدیدی را بروی استان ایجاد می‌کند. لازم به ذکر است که توپوگرافی منطقه در تقویت و تشدید این توفان‌ها بی‌تأثیر نبوده است.

**کلمات کلیدی:** کهگیلویه و بویر احمد، توفان تندری، تحلیل سینوپتیک، آماری، کم فشار سودانی

**چکیده:** بشر با وجود سود جستن از عملکردهای مثبت بیشمار آب و هوا، همواره از عملکردهای منفی و سوء آسیب دیده و با مخاطرات طبیعی ناشی از آب و هوا دست به گریبان بوده است. توفان تندری فراوانترین و شدیدترین این نوع مخاطرات است که هرساله علاوه بر نابودی مقدار زیادی محصولات کشاورزی و تأسیسات عمرانی، تلفات انسانی زیادی در نقاط مختلف دنیا را موجب می‌شود و همه ساله در کشور عزیزان ایران این پدیده را باشد و ضعف‌هایی تجربه می‌کنیم. استان کهگیلویه و بویر احمد به دلیل دارا بودن موقعیتی کوهستانی ناحیه مناسب برای تشدید و گسترش توفان‌های تندری می‌باشد. در این پژوهش برای بررسی توفان‌های تندری شدید کهگیلویه و بویر احمد، ابتدا کدهای مربوط به پدیده‌ی توفان تندریدر دوره آماری ۱۹۹۰ تا ۲۰۱۰ از سازمان هواشناسی کشور استخراج گردید. سپس داده‌های فشار تراز دریا، ارتفاع ژئوپتانسیل، رطوبت و امکاً از پایگاه داده‌های NCEP/NCAR دریافت و در نرم افزار GRADS ترسیم شد. در نهایت، تعداد ۷۰ مورد توفان تندری جهت بررسی منشأ رطوبی و عوامل سینوپتیکی ایجاد

## مقدمه

انرژی حرارتی زمین و برقراری جریان الکتریکی بین زمین و اتمسفر می‌شود(چانگنون، ۲۰۰۱). خصوصیات بارز یک توفان مانند باد شدید، رعد و برق و رگبار بسیار شدید ناشی از تشکیل یک سلول همرفتی بزرگ در اتمسفر است.

ایران به علت موقعیت خاص جغرافیایی از آب و هوای متنوعی برخوردار است و نوسانات آب و هوایی شدیدی را دارا می‌باشد(علیجانی، ۱۳۸۵) که در همه ساله مخاطرات اقلیمی را باشد و ضعف‌هایی تجربه می‌کند. به طور مثال تنها از سال ۱۹۹۰ تا ۲۰۰۷ میزان خسارت مالی وارد شده به بخش‌های مختلف اقتصادی کشورمان ایران از چهار پدیده سیل، بارش‌سنگین، رعد و برق و تگرگ که همگی پدیده‌های همراه با توفان‌های تندri می‌باشند، بیش از ۶۶۴ میلیارد تومان برآورد شده است که رقم قابل توجهی می‌باشد. همچنین میزان مرگ و میر ناشی از این پدیده‌ها در این بازه زمانی ۲۷۴۸ نفر بوده و افراد مجرروح شده نیز افزون بر ۱۳۰۷۰ نفر و تعداد خانه‌های آسیب دیده نیز ۸۲۱۷۸ واحد بوده است (فرج‌زاده، ۱۳۹۲).

استان کهگیلویه و بویر احمد در جنوب غربی ایران واقع شده است، به دلیل دارا بودن موقعیتی کوهستانی ناحیه مناسب برای تشدید و گسترش بارندگی می‌باشد و شرایط سینوپتیکی و خصوصیت ترمودینامیکی سامانه‌هایی که این بخش از کشور را متأثر می‌سازند به گونه‌ای است که از انرژی پتانسیل بالایی برخوردار بوده که به دلیل ایجاد ناپایداری شدید بارش‌های رگباری حتی در دوره‌ی سرد سال ایجاد می‌کند. از آنجا که معیشت اکثر مردم این استان از طریق کشاورزی و دامپروری تمامین می‌شود، زندگی آنها وابستگی شدیدی به ریزش‌های جوی دارد. بارش‌های شدید و توفانهای تندri با توجه به خصوصیات ترمودینامیکی سامانه‌های بوجود آورده آنها به دلیل همراهی با باد شدید، رگبارهای باران و برف و تگرگ و رعد و برق گاهی خسارت‌های زیادی به مزارع و مراع و جنگل‌ها و .... را به بار آورده است.

عملکرد محیط طبیعی سیاره‌ی زمین یا محیط ساخته شده انسانی به وسیله‌ی آب و هوا کنترل و دگرگون می‌شود و به عنوان بخش مهمی از محیط زندگی بر تمام کارهای انسان تاثیر می‌گذارد(کمال امید وار، ۱۳۸۹).

بشر با وجود سود جستن از عملکردهای مثبت بیشمار آب و هوا، همواره از عملکردهای منفی و سوء آن آسیب دیده و با مخاطرات طبیعی ناشی از آب و هوا(مخاطرات آب و هوایی) دست به گریبان بوده است. مخاطرات طبیعی هرساله در نقاط مختلف جهان، جان هزاران انسان را می‌گیرد و درصد بالایی از این تلفات محصول مخاطرات آب و هوایی بوده است (فرج زاده، ۱۳۹۲). از انواع مخاطرات آب و هوایی میتوان توفان‌های تندri، خشکسالی، سیل منطقه‌ای، آتش سوزی در جنگل‌ها و مراع و مزارع(البته منظور آن دست از آتش سوزی هایی - است که در اثر صاعقه و یا گرمباد بوجود آمده‌اند)، سرما و گرمایشگی و صاعقه و..... را نام برد. این پدیده از فراوانترین و شدیدترین مخاطرات آب و هوایی است که هرساله علاوه بر نابودی مقدار زیادی محصولات کشاورزی و تأسیسات عمرانی، تلفات انسانی زیادی در نقاط مختلف دنیا را موجب می‌شود. تنها بین سالهای ۱۹۵۳ تا ۱۹۵۷ در آمریکا، خسارت‌های مالی ناشی از توفان تندri بالغ بر ۳/۶ میلیارد دلار برآورد شده و بعد از دیوبادها در رده دوم بلایای طبیعی (از نظر میزان خسارات مالی) قرار گرفته است (چانگنون، ۲۰۰۳).

از توفان تندri، تعاریف بسیاری از سوی علمای این علم ارائه شده است. توفان تندri، ماشین ترمودینامیکی بی است که در آن انرژی پتانسیل<sup>۱</sup> از گرمای نهان<sup>۲</sup> حاصل از تراکم در شرایط رطوبتی یا ناپایداری حاصل به انرژی جنبشی<sup>۳</sup> تبدیل شده و باعث جابجایی هوا می‌گردد و بیشتر در فضول انتقالی مشاهده می‌شوند (علیجانی، ۱۳۷۹). یا توفان تندri یکی از پدیده‌های مهم آب و هوایی است که باعث گردش آب در طبیعت، توازن

1 - Changnon

2 - Potential Energy

3 - Potential heat

4 - Kenetic Energy

را آشکار می‌کند. آب و هواشناسی ۶ ساعته و بارش در دشت فرولی در نیز<sup>۷</sup> توسط مترازو<sup>۸</sup> مورد توجه قرار گرفت. وی در این پژوهش دریافت که توفان تندری به طور مکرر در دشت فرولی نیز در بعد از ظهر و عصر از ماه ژوئن تا آگوست رخ می‌دهد (مترازو، ۲۰۰۷). میکلد و همکاران<sup>۹</sup> (۲۰۰۸)، به ارزیابی همدیدی، ترمودینامیکی و آگروکلیمایی تگرگ شدید در قبرس<sup>۱۰</sup> پرداختند. به منظور شناخت دقیق تر، سازکارهای دینامیکی و ترمودینامیکی شکل گیری تگرگ را مورد مطالعه قرار دادند. در این مطالعه تگرگ‌های شدید رخ داده در قبرس را در دوره‌ی ۱۰ ساله ارزیابی و به دو خوشة ناپایداری حرارتی و گذشواری<sup>۱۱</sup> جبهه‌ای تقسیم و سپس سیر تغییرات زمانی - مکانی را نیز بررسی کردند. چادهیری<sup>۱۲</sup> (۲۰۰۸)، با بررسی انواع ابر در تولید توفان تندری شدید با استفاده از محاسبات به این نتیجه رسید که تشکیل ابر کومولونیمبوس در ساعت ۶۰ گرینویچ شرایط مساعدی را برای پیدایش توفان تندری شدید در طول فصل قبل از موسومی بر فراز کلکته فراهم می‌کند. سایدلکی<sup>۱۳</sup> (۲۰۰۸)، در منظور تحلیل توفان‌های رخداده در دوره (۱۹۹۵-۲۰۰۵)، در اروپا با استفاده از داده‌های گمانه زن جمع آوری شده توسط دانشگاه وایومینگ، به واکاوی فراوانی توزیع پارامترهای مانند CAPE، KI، TT، CIN و شاخص SWEAT به صورت ماهانه پرداخته است. میانگین ماهانه مقدار CAPE را در شرق مدیترانه و کشورهای ساحلی مجاور آن ۳۰۰ ژول بر کیلوگرم به دست آورده است. نمایه CIN، را در ماههای فصل تابستان در جنوب محدوده مورد مطالعه، ۱۰۰ ژول بر کیلوگرم بدست آورده است. شاخص‌های KI، TT و SWEAT که افたهنگ بین ترازهای ۸۵۰ و ۵۰۰ هکتوپاسکال و همچنین رطوبت ترازهای زیرین را محاسبه می‌کنند، نشان دادند که

افزایش دمای اتمسفر در طی توفان تندری توسط شرما و همکاران<sup>۱</sup> (۲۰۰۲)، مورد مطالعه قرار گرفت. از این پژوهش چنین حاصل شد که درجه‌ی حرارت الکترون و یون در طول وقوع توفان تندری پیوسته افزایش می‌یابد. همچنین اندازه گیری میدانی و مطالعه‌ی تجربی مشخصه‌های سرعت باد در طی توفان تندری مورد مطالعه قرار گرفته و مشاهده شده که نیمرخ‌های باد در طول توفان تندری به وسیله چندین عامل از جمله فاصله از مرکز سلول توفان تندری، شدت توفان و ناهمواری زمین متأثر می‌گردد (چوی<sup>۲</sup>، ۲۰۰۴). در بخش اروپایی روسیه حدود ۵۰ درصد از توفان‌های تندری وابسته به جبهه‌ی سرد، ۲۳ درصد جبهه‌ی گرم و ۲۸ درصد به همگرایی درون توده‌ی هوا مربوط هستند. در این قسمت از روسیه فراوانی توفان‌ها با افزایش دمای سطحی به حد اکثر خود می‌رسد. فعالیت این توفان‌ها در جوایی به سراسر مرکز و شمال اروپا و در آگوست به بخش‌هایی از سویس و در سپتامبر و اکتبر به بخش‌های غربی فرانسه و مرکزی انگلستان کشیده می‌شود (دایره المعارف جهانی آب و هواشناسی، ۲۰۰۵). در مطالعه‌ای ایزابلا پنه ویانا<sup>۳</sup> براساس ۲۷ سال داده‌های ارزیابی خسارت سیستم دفاع داخلی دریایی در جنوب برزیل به نام سانتا کاترینا<sup>۴</sup> انجام داده‌اند و توزیع زمانی و مکانی وقوع توفان‌های تندری شدید را بررسی کرده و میزان آسیب‌پذیری ساکنان منطقه را بسیار برآورد کرده‌اند و نشان دادند که فراوانی توفان‌های تندری شدید در سال‌های اخیر بویژه برای فصل‌های بهار و تابستان بیشتر شده است. در سال ۲۰۰۷ ساختار ترمودینامیکی بالای توفان تندری هم‌رفتی در ایالت مونتنا<sup>۵</sup> توسط وانگ<sup>۶</sup> (۲۰۰۷)، مورد مطالعه قرار گرفت. این مطالعه، ناپایداری و ساختار شکننده موج را در هنگام هدم‌مایی دمای پتانسیل در بالای توفان تندری شبیه‌سازی شده

<sup>7</sup> - F.V.G<sup>8</sup> - Manzato<sup>9</sup> - Michealides & et al<sup>10</sup> - Cyprus<sup>11</sup> - Depresion<sup>12</sup> - Chaudhuri<sup>13</sup> - Sidlecki<sup>1</sup> - Sherma & et al<sup>2</sup> - Choi<sup>3</sup> - Isabela Pena Viana<sup>4</sup> - Santa Catarina<sup>5</sup> - Montana<sup>6</sup> - Wang

۱۳۸۹ تبریز که با استفاده از شاخص‌های ترمودینامیک و نمودار اسکیوتوی انجام گرفته است نشان می‌دهد که وقوع توفان تندri بستگی به حرکات قائم هموفتی در ترازهای ۶۵۰، ۷۰۰ و ۷۵۰ هکتوپاسکالی داشته و اگر در هر تراز مذکور همزمان صورت گیرد، ناپایداری و به تبع آن توفان تندri شدیدتر خواهد بود. همچنین وقوع توفان تندri در روز فوق در محدوده شاخص شوالتر نتایج بهتری نسبت به دیگر شاخص‌های ارزیابی و پیش‌بینی توفان تندri دارد (قوی‌دل رحیمی، ۱۳۸۹)، لشکری و امینی (۱۳۸۹)، به واکاوی همدید و پنهان‌بندی بارش تگرگ در خراسان بزرگ پرداخته‌اند. نتایج مطالعات آنها نشان داد که حداکثر بودن فراوانی رخداد تگرگ در این ناحیه علاوه بر ارتفاع زیاد ایستگاه‌ها از سطح دریا به محل ورود سامانه‌های همراه با بارش تگرگ وابسته می‌باشد. خوشحال دستجردی و علیزاده (۱۳۸۹)، نیز به بررسی توفان‌های تندri سیلاب ساز استان کرمانشاه طی یک دوره آماری ۲۵ ساله (۱۹۸۷ - ۲۰۰۵)، چهار سیلاب شناسایی گردید: که سه مورد از سیلاب‌های ایجادشده ۲۵ و ۲۶ اکتبر ۱۹۸۷ و ۷ نوامبر ۱۹۸۴، از یک الگو پیروی کرده، به‌طوری که در تراز دریا زبانه‌ی پرفشاری هوای سرد و خشک را به منطقه‌ی مورد مطالعه شارش کرده و در ترازهای بالاتر سامانه پرفشاری هوای گرم و مرطوب دریایی عرب را به منطقه‌ی مورد مطالعه و جلوی ناوه‌های واقع شده در غرب کشور شارش می‌کند. در سیلاب ۲۴ دسامبر ۱۹۸۷ سامانه‌ی کم فشار بزرگی که غرب آسیا را در بر گرفته، غرب کشور و منطقه‌ی مورد مطالعه را پوشش میدهد و در ترازهای بالاتر، منطقه‌ی مورد مطالعه کاملاً در جلوی ناوه‌های عمیق غربی قرار گرفته است. همچنین در بررسی نقشه‌های نم ویژه مشخص شد که بیشترین فرارفت رطوبت در چهار سیلاب ذکرشده از دریایی عرب تأمین شده است (خالدی و همکاران، ۱۳۹۰). به منظور تعیین الگوی همدیدی توفان‌های تندri شمال غرب ایران در دوره آماری ۱۱ ساله (۲۰۰۵ - ۱۹۹۵)، توفان‌های تندri ۱۴ ایستگاه همدیدی مورد واکاوی

ناحیه‌ی آلپ و حوزه‌ی کارپتین<sup>۱</sup> دارای بیشترین شرایط ناپایداری بوده‌اند و نقش کوهنگاری را به عنوان مهمترین نقش در ایجاد توفان دانسته است. مهله‌ی و میلر<sup>۲</sup> (۲۰۱۰)، به کمک داده‌های رادار و داده‌های سطح زمین در داکوتای شمالی، در پی ویژگی‌های آب و هواشناسی توفان‌های تندri بودند. آنها به این نتیجه رسیدند که حداکثر فعالیت توفان تندri در خرداد ماه و تیرماه در بعدازظهر و اوایل صبح می‌باشد. لوگینوف و همکاران (۲۰۱۰)، در مطالعه‌ای تغییرات تعدادی از توفان‌های تندri و خصوصیات شکل گیری آنها در بلاروس را مورد بررسی قرار دادند. نتایج بدست آمده نشان داد که توفان‌های تندri از تنوع زمانی و مکانی بالا و به طور کلی از توزیع فضایی متنوعی برخوردار بودند. سری زمانی وقوع این رخداد نیز از طریق روش‌های آماری محاسبه گردید. نتایج بدست آمده نشان داد در مناطق کوهستانی رخداد این پدیده بیشتر از سایر نواحی بوده است. دیویس<sup>۳</sup> (۲۰۱۲)، تغییرات روزانه توفان‌های تندri را در فرودگاه هیثرون لندن بررسی کرد. نتایج پژوهش‌های وی نشان داد که اکثر توفان‌های تندri در بعد ازظهر و فقط در بعضی مواقع نیمه‌های شب رخ می‌دهد. بررسی سال به سال افزایش آسیب‌های ناشی از توفان‌های تندri در بخشی از کشور رومانی (میک<sup>۴</sup> ۲۰۱۱) به توصیف ماهیت این پدیده و عمل رخداد آن پرداخته است. در این پژوهش ۵ ایستگاه هواشناسی انتخاب شده است و پراکنش زمانی-مکانی پدیده جستجو شده است. بیشترین رخداد آن در ماه ژوئن (خرداد) برآورد شده است. تحقیقات شن یانگ و همکاران<sup>۵</sup> (۲۰۱۳)، در دره‌ی شان در مرکز چین نشان می‌دهد که، افزایش هوایی‌ها در جو مانع گرم شدن سطح زمین و در واقع مانع اثرات تابشی و میکروفیزیکی در سطح زمین می‌گردد که در پی آن بارش‌های تندri کاهش چشمگیری خواهد داشت. بررسی توفان تندri ۵ اردیبهشت

<sup>1</sup> - Carpathain<sup>2</sup> - Mohee & Miller<sup>3</sup> - Davis<sup>4</sup> - mic<sup>5</sup> - Xin yang & et al

که زبانه‌های کم فشار ایسلند به منطقه رسیده و شرایط کم فشاری را بوجود آورده و در حالت دیگر زبانه‌های پرفشارهای شمالی منطقه و کم فشارهای شرق مدیترانه در روز بارش سنگین در منطقه شمال غرب شب فشاری شدیدی را ایجاد کرده است. در ترازهای میانی جو نیز سه الگو وجود داشت که در حالت اول ریزش هوای سرد و خشک از ناوه ایسلند به ناوه‌ی شرق دریای مدیترانه، حالت دوم ادغام ناوه مدیترانه و دریای سرخ و حالت سوم گسترش ناوه غرب روسیه و آسیای شمالی تا مرکز و حتی جنوب دریای سرخ می‌باشد. ماهوتچی در بررسی ۵۸۴ روز توفان تندri در منطقه شمال شرق ایران متوجه شد که ۷۲ درصد روزهای تندri در فصل بهار رخ داده و شدت این توفان‌ها را تابع رطوبت و حرکات دینامیکی می‌داند. ضمناً محقق مذکور خاطر نشان کرده که الگوهای بندال دو قطبی اروپای شرقی، بندال دو قطبی شمال شرق، پرفشار و کم فشار شمال شرق ایران ترکیب رطوبت و امگای منفی را در تقویت و تشدید توفان‌های تندri شمال شرق نشان می‌دهند (ماهوتچی، ۱۳۹۲)

## مواد و روش‌ها

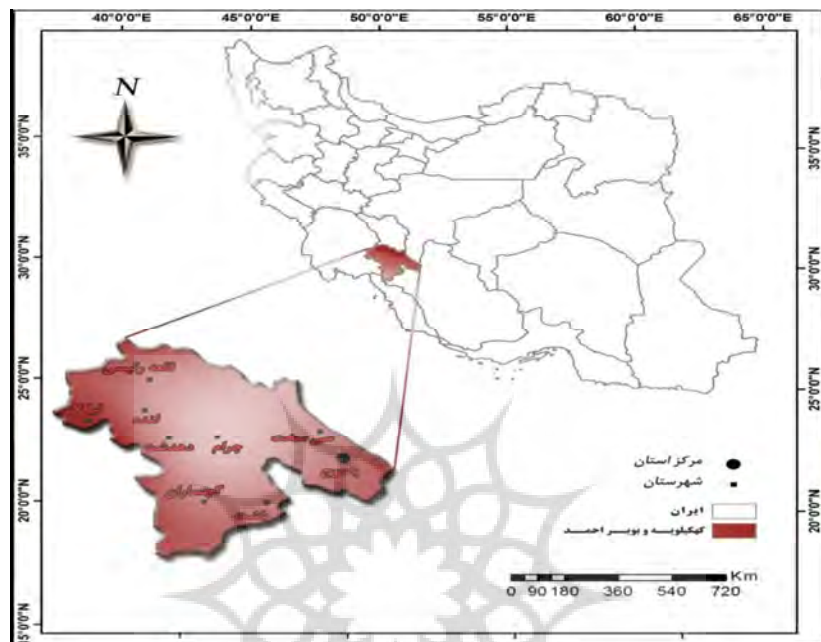
### موقعیت جغرافیایی منطقه مورد مطالعه

استان کهگیلویه و بویراحمد با مساحتی بالغ بر ۱۶۲۶۴ کیلومترمربع (حدود یک درصد مساحت کشور) بین  $۵۶^{\circ}$  و  $۵۳^{\circ}$  عرض شمالی و بین طولهای شرقی  $۴۹^{\circ}$  و  $۵۱^{\circ}$  واقع شده است و از شمال با استان چهار محال و بختیاری، از جنوب با استان‌های فارس و بوشهر، از شرق با استان‌های اصفهان و فارس و از غرب با استان خوزستان محدود شده است (شکل ۱). در جدول (۱) نیز نام و موقعیت جغرافیایی نقاط شهری استان آورده شده است. استان کهگیلویه و بویراحمد در جنوب غربی ایران واقع شده است، به دلیل دارا بودن موقعیتی کوهستانی ناحیه مناسب برای تشدید و گسترش بارندگی می‌باشد و شرایط سینوبیتیکی و خصوصیت ترمودینامیکی سامانه‌هایی که این بخش از کشور را متأثر می‌سازند به گونه‌ای است که از انرژی پتانسیل بالای

قرار گرفت. نتیجه پژوهش بیان کننده‌ی این نکته است که توفان شدید و فراگیر در شمال غرب در دوره آماری مذکور ناشی از الگوی ادغامی سودانی - مدیترانه‌ای است (آقاسی، ۱۳۹۰). میراحمدی (۱۳۹۱)، به منظور بررسی ویژگی‌های آماری توفان‌های تندri در کوهرنگ بختیاری در دوره آماری ۱۹ ساله با استفاده از روش تجزیه مولفه روند سریهای زمانی (روندهای خطی و پلی‌نومنیال درجه ۶)، برای بیان نوسان‌های زمانی توفان‌های تندri دریافت که بیشترین وقوع توفان تندri در ایستگاه همید کوهرنگ در فصل بهار و ماه آوریل می‌باشد. همچنین مدل‌های روند خطی و پلی‌نومنیال درجه ۶ نشان دادند که در ایستگاه مربوطه توفان‌های تندri روند کاوشی دارند. اکبری (۱۳۹۱)، به منظور تعیین شاخص‌های دینامیک و ترمودینامیک بارش‌های سیل‌زای جنوب غرب ایران با مطالعه‌ی حوضه آبریز کارون بزرگ با استفاده از داده‌های دوباره پردازش شده JRA25 و همچنین بر پایه‌ی محاسبات تعدادی از شاخص‌های دینامیکی و ترمودینامیکی به این نتیجه رسید که، توفان‌های منتخب در جنوب غربی ایران، ناشی از سامانه‌ی ترکیبی بارش‌زای مدیترانه‌ای - سودانی بوده‌اند که بویژه در فصول سرد سال منجر به رخداد بارش شده‌اند و شاخص‌های دینامیکی و ترمودینامیکی همگرایی جریان نمناکی، فرارفت رطوبت، تاوایی پتانسیلی، سرعت قائم، نسبت آمیختگی، دمای پتانسیل و دمای پتانسیل هم‌ارز پیش از شروع بارش تا خاتمه‌ی بارش تغییرات قابل ملاحظه‌ای نشان داده‌اند ولی از آنجا که در رخداد بارش‌های سیل‌آسا، حدهای تعیین شده، دارای ضریب تغییرات زیاد در توفان‌های منتخب بوده‌اند. لذا بررسی‌های آینده برای امکان-ستجی پیش‌بینی و رخداد بارش سیل‌آسا در منطقه مورد مطالعه مورد نیاز است. افتادگان (۱۳۹۱)، واکاوی همیدی بارش‌های مخاطره‌آمیز فراگیر در شمال‌غرب ایران را مورد مطالعه قرار داد که نتایج کلی در ارتباط با الگوهای همیدی بارش‌های سنگین در تراز فشاری سطح دریا دو حالت را نشان داد. در حالت اول تضعیف پرفشارهای عرض‌های بالای منطقه

خصوصیات ترمودینامیکی سامانه‌های بوجود آورده آنها به دلیل همراهی با باد شدید، رگبارهای باران و برف و تگرگ و رعد و برق گاهی خسارت‌های زیادی به مزارع و مراتع و جنگل‌ها و .... را به بار آورده است.

برخوردار بوده که به دلیل ایجاد ناپایداری شدید بارشهای رگباری حتی در دوره‌ی سرد سال ایجاد می‌کند. از آنجا که معیشت اکثر مردم این استان از طریق کشاورزی و دامپروری تأمین می‌شود، زندگی آنها وابستگی شدیدی به ریزشهای جوی دارد. بارشهای شدید و توفانهای تندری با توجه به



شکل (۱): نقشه‌ی موقعیت استان کهگیلویه و بویر احمد و نقاط شهری این استان

جدول (۱): فهرست ایستگاه‌های سینوپتیک استان کهگیلویه و بویر احمد

ایستگاه	ارتفاع به متر	عرض جغرافیایی	طول جغرافیایی	سال تأسیس
یاسوج	۱۸۳۱	۴۱	۳۰ □	۱۹۸۷
سی سخت	۲۱۴۸	۵۰	۳۰ □	۲۰۰۷
دوگبدان	۷۲۶	۲۰	۳۰ □	۱۹۸۲
امام‌زاده جعفر	۷۱۰	۱۷	۳۰ □	۲۰۰۶
دهدشت	۷۹۵	۴۷	۳۰ □	۲۰۰۸
لیکک	۶۵۰	۵۳	۳۰ □	۲۰۱۱
	۵	۵	۳۰ □	

مشخصات آنها آورده شده است.

۲- سپس داده‌های اخذشده را از نظر کامل بودن گزارشات و همچنین مطابقت با دوره‌ی آماری این مطالعه (۱۹۹۰-۲۰۱۰) کنترل شد و تعدادی از ایستگاه‌ها همانند ایستگاه دهدشت و سی سخت و لیکک و امام‌زاده جعفر به دلیل نداشتن آمار کافی و پوشش ندادن بازه‌ی زمانی مطالعه حذف شدند و در

بعد از انجام مطالعات کتابخانه‌ای جهت حصول یک شناخت

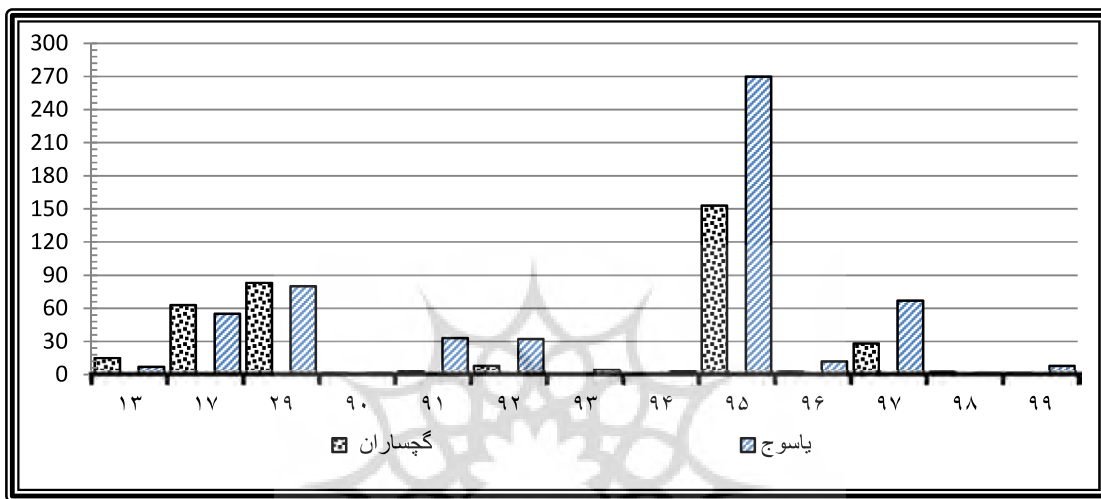
کلی از موضوع و اشراف به نظریه‌ها و تئوری‌های مربوط به توفان تندری به ترتیب مراحل زیر طی شده است.

۱- آمار روزانه‌ی مربوط به ایستگاه‌های سینوپتیک استان کهگیلویه و بویر احمد از مرکز ماشینی سازمان هواشناسی اخذ گردید که در جدول (۱) فهرست این ایستگاه‌ها و سایر

سازمان هواشناسی استخراج گردید. در مجموع ۹۱۷ بار کد توفان تندri در دو ایستگاه یاسوج (۵۷۳ بار در ۳۵۷ روز) و گچساران (۳۴۴ بار در ۲۵۷ روز) به ثبت رسیده بود. فراوانی وقوع تندر سالانه و فصلی و ماهانه برای هر یک از ایستگاه‌ها بررسی و مقایسه شده است. فراوانی هر یک از این کدها را برای دو ایستگاه شاخص استان در شکل (۲) مشاهده می‌کنید که جزئیات مربوط به این کدها را در جدول (۲) آورده‌ایم.

نهایت دو ایستگاه یاسوج و گچساران باقی مانده است و ایستگاه یاسوج به عنوان نماینده بخش مرتفع و سردسیر در نظر گرفته شده و ایستگاه گچساران به عنوان نماینده بخش کم ارتفاع و گرم‌سیر در نظر گرفته شد.

-۳- از میان کلیه کدهای پدیده‌های هواشناسی که در دیده-بانی گزارش می‌شوند، کدهای مربوط به پدیده‌ی توفان تندri که این کدها شامل: ۱۳، ۱۷، ۲۹ و ۹۱ تا ۹۹ از داده‌های



شکل (۲): فراوانی کدهای توفان تندri در دو ایستگاه استان؛ دوره‌ی آماری، ۱۹۹۰-۲۰۱۰.

جدول (۲): جزئیات کدهای هوای فعلی و گذشته‌ی توفان تندri در طی دیدبانی هواشناسی (هاکلندر و دلدن، ۲۰۰۳).

شدت	کد هوای گذشته (تندri شنبده شد)	وضعیت هوای برق بدون رعد	شدت	کد هوای فعلی (تندri شنبده می‌شود)	وضعیت هوای رعد و برق بدون بارش
*****	۱۳	برق بدون رعد	*****	۱۷	رعد و برق بدون بارش
*****	۲۹	بارش ملایم یا بدون بارش همراه با رعد و برق در ساعات گذشته	ملایم یا متوسط	۹۵	رعد و برق همراه با بارش ملایم و متوسط برف یا باران یا مخلوطی از هردو
ملایم	۹۱	بارش همراه با رعد و برق در ساعات گذشته	ملایم یا متوسط	۹۶	رعد و برق همراه با تگرگ
متوسط یا شدید	۹۲	بارش همراه با رعد و برق در ساعات گذشته	شدید	۹۷	رعد و برق همراه با بارش شدید برف یا باران یا مخلوطی از هردو
ملایم	۹۳	بارش برف یا باران یا مخلوطی از هردو و یا تگرگ و رعد و برق در ساعات گذشته	*****	۹۸	رعد و برق همراه با توفان گرد و غبار و ماسه
متوسط یا شدید	۹۴	بارش برف یا باران یا مخلوطی از هردو و یا تگرگ و رعد و برق در ساعات گذشته	شدید	۹۹	رعد و برق همراه با بارش شدید تگرگ

استفاده قرار گرفته‌اند. در این مرحله از ۵۷۳ توفان تندri ثبت شده در یاسوج به ۳۵۸ توفان تندri که در ۲۴۳ روز به وقوع پیوسته بود، باقی ماند و از ۳۴۴ توفان تندri گچساران ۱۸۶

کدهای ۱۳، ۱۷، ۲۹، ۹۱، ۹۲، ۹۳، ۹۴ و ۹۵ که مربوط به هوای گذشته بوده‌اند و نیز کد ۱۷ که بارش ندارد از میان کدهایی که باید بررسی می‌شدند حذف شده و کدهای ۹۵ تا ۹۹ مورد

ب) حداقل دو ساعت از ساعات پیش هشت گانه ایستگاه‌های سینوپتیک یکی از کدهای ۹۵ تا ۹۹ ثبت شده باشد که با دخیل کردن این معیار ۲۱۵ روز به ۱۷ روز کاهش یافت.

ج) توفان تندri در حداقل دو روز پیاپی اتفاق افتاده باشد که با توجه به این معیار، ۱۷ روز توفان تندri به ۱ روز کاهش یافت. در تاریخ ۱۳ دسامبر ۱۹۹۱ مطابق با ۲۲ آذر ۱۳۷۰ در ایستگاه یاسوج ۱۲۰ میلی‌متر و ایستگاه گچساران نیز ۱۱۷ میلی‌متر بارش همراه با توفان تندri دریافت داشته‌اند.

مشخصات وضع هوای دو ایستگاه دوگنبدان و یاسوج را در جدول (۳) آورده‌ایم.

جدول (۳): وضع هوای حال حاضر دو ایستگاه گچساران و یاسوج در روز ۱۳ دسامبر ۱۹۹۱.

	0			3			6			9			12			15			18			21		
	N	WW	VV	N	WW	VV	N	WW	VV	N	WW	VV	N	WW	VV	N	WW	VV	N	WW	VV	N	WW	VV
یاسوج	8	95	2000	8	97	2000	8	95	2000	8	97	1000	8	97	1000	8	97	1000	8	97	1000	8	62	5000
گچساران	*	**	*****	8	97	1000	8	17	5000	8	97	1000	8	97	1000	*	**	*****	*	**	*****	*	**	*****

سایت مرکز ملی پیش‌بینی آمریکا (NCEP) در نرم افزار گردس نقشه‌های فشار تراز دریا و اومگای تراز دریا و ارتفاع ژئوپتانسیل و سرعت قائم ترازهای ۸۵۰ و ۷۰۰ و ۵۰۰ هکتوپاسکال، و همچنین نقشه‌های نم ویژه ترازهای ۱۰۰۰ و ۸۵۰ و ۷۰۰ هکتوپاسکال و با ترکیب مولفه‌ی باد مداری و نصف‌النهاری ترازهای ۱۰۰۰ و ۸۵۰ و ۷۰۰ هکتوپاسکال نقشه‌ی جريان باد رسم شده است. برای شناسایی نقاط ناپایدار نقشه‌ی دما و ارتفاع ژئوپتانسیل تراز ۵۰۰ را نیز در این نرم افزار رسم کرده و همین طور برای مشخص نمودن موقعیت رودبادها در ترازهای ۵۰۰ و ۲۰۰ اقدام به رسم نقشه‌ی رودبادها نیز گردید.

۸- از آنجا که یکی از اهداف این مطالعه شناسایی الگوهای همدیدی توفان‌های تندri استان کهگیلویه و بویر احمد بوده لذا به منظور کشف الگوهای همدیدی این تندرهای نقشه‌های سینوپتیکی سطح دریا (SIP) و ترازهای ۸۵۰ و ۷۰۰ و ۵۰۰ هکتوپاسکال مربوط به ۷۰ مورد از روزهای وقوع تندri از سایت مرکز ملی پیش‌بینی آمریکا (NCEP) اخذ شده و محور ناووهای سطوح ۸۵۰ و ۷۰۰ و ۵۰۰ هکتوپاسکال بروی

مورد که در ۱۴۴ روز به وقوع پیوسته باقی ماند.

۵- از آنجا که مطالعه هر ۵۴۴ توفان تندri رخ داده در استان کاری عبث و وقت گیر بوده لذا از میان آنها ۱ نمونه انتخاب شده تا به طور کاملاً مشروح مورد بررسی قرار گیرد. معیارهای انتخاب این کیس‌های مطالعاتی عبارت بودند از:

(الف) فراگیر بودن توفان تندri (هر دو ایستگاه توفان تندri گزارش داده شده باشند) که با وجود این معیار ۲۱۵ روز تندri باقی ماند.

همانگونه که در جدول بالا مشخص می‌باشد آسمان هر دو ایستگاه تمام ابری بوده و در ایستگاه گچساران برای ساعت ۳، ۹، ۱۲، ۱۵ و ۹۷ که به معنای رعد و برق به همراه بارش شدید بوده و برای ساعت ۶ به وقت گرینویچ نیز کد ۱۷ ثبت شده است که به معنای وقوع توفان تندri بدون بارش می‌باشد. در ساعتی که کد ۹۷ گزارش شده نیز میدان دید به ۱۰۰۰ متر محدود شده است. در ایستگاه یاسوج نیز کدهای ۹۵ (رعد و برق با بارش متوسط) و ۹۷ به تناوب تکرار شده تا در ساعت ۲۱ که کد ۶۲ ثبت شده است.

۶- به منظور منشأیابی سامانه‌ی عامل بارش سنگین و توفان تندri حادث شده در این تاریخ اقدام به مطالعه شرایط سینوپتیکی ۷ روز قبل از حدوث توفان تندri شده‌ایم چراکه توفان تندri انتخاب شده برای بررسی، روز هفتم یک موج بارش ۹ روزه بوده که در مجموع این موج بارشی ایستگاه‌های یاسوج و گچساران به ترتیب ۳۵۱ و ۲۹۶ میلی‌متر بارش دریافت گردند.

۷- به منظور بررسی شرایط توفان تندri برای هر یک از روزهای قبل و بعد از وقوع توفان تندri با استفاده از داده‌های

برای ایستگاه گچساران در سال ۱۹۹۱ (۱۷ روز تندري) رخداده و کميئني آن در ۱۹۹۰ برای ایستگاه یاسوج و برای ایستگاه گچساران در سال ۱۹۹۲ حادث شده است. در اين استان هيچ سالي نبوده كه تندري در آن رخ نداده باشد. در مجموع ۴۰/۷٪ بارش یاسوج در روزهای همراه با تندري درياافت شده است که اين ميزان برای ایستگاه گچساران ۳۲/۳٪ بوده است. به طور متوسط در ایستگاه یاسوج هر ساله ۲۰/۵ مورد تندري رخداده و در ایستگاه گچساران در هر سال به طور متوسط ۹/۴ مورد رخداد توفان تندري رخداده است.

نقشه‌اي خام(براي هر سطح يك نقشه) ترسيم گردید و برای نقشه‌های سطح زمين نيز جهت ورود سامانه به منطقه مورد مطالعه بروی نقشه‌اي خام ترسيم شد.

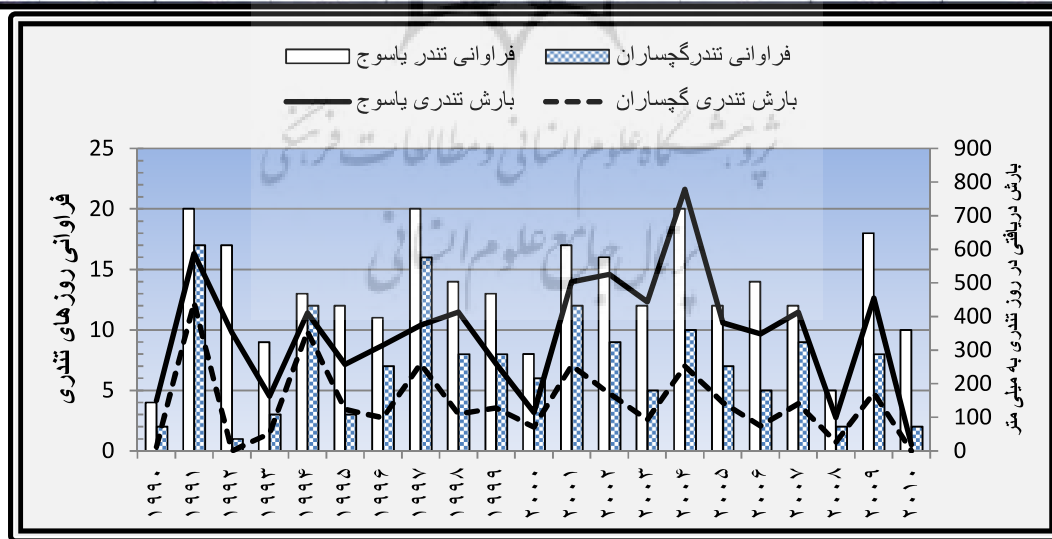
## بحث و یافته‌ها

### پراكنش سالانه‌ی توفان‌های تندري

جدول(۴) و شکل(۳) فراوانی روزهای همراه با تندري را در سالهای مورد مطالعه نشان می‌دهند. همانطور که ملاحظه می‌شود بيشينه‌ی فراوانی روز همراه با تندري برای ایستگاه یاسوج در سالهای ۱۹۹۱ و ۱۹۹۷ و ۲۰۰۴ و ۲۰۰۰ (روز تندري) و

جدول(۴): فراوانی حدوث توفان تندري و ميزان بارش حاصل از آنها به صورت سالانه در دوره‌ی آماری ۱۹۹۰-۲۰۱۰

	فراوانی تندري یاسوج	فراوانی تندري گچساران	بارش تندري یاسوج	بارش تندري گچساران	سهم تندري از بارش هر سال
1990	4	2	1.4	29.1	5.0
1991	20	17	7.2	586.7	62.4
1992	17	1	6.1	352.4	0.0
1993	9	3	3.2	16.3	61.3
1994	13	12	4.7	48.5	52
1995	12	3	4.3	36.3	356.4
1996	11	7	4.0	30.5	24.1
1997	20	16	7.2	373.8	48.6
1998	14	8	5.1	49.8	45.0
1999	13	8	4.7	30.8	110
2000	8	6	2.9	18.5	27.0
2001	17	12	6.1	51.8	70.8
2002	16	9	5.8	57.5	21.0
2003	12	5	4.3	49.7	41.0
2004	20	10	7.2	60.2	93
2005	12	7	4.3	45.2	21.4
2006	14	5	5.1	36.5	144.1
2007	12	9	4.3	51.7	27.9
2008	5	2	1.8	33.8	74.4
2009	18	8	6.5	53.7	16.5
2010	10	2	3.6	16.0	140.5
mean	13.2	7.2	4.8	350.6	36.1
					30.2



شکل (۳): فراوانی حدوث توفان تندري و ميزان بارش حاصل از آنها به صورت سالانه در دوره‌ی آماری ۱۹۹۰-۲۰۱۰.

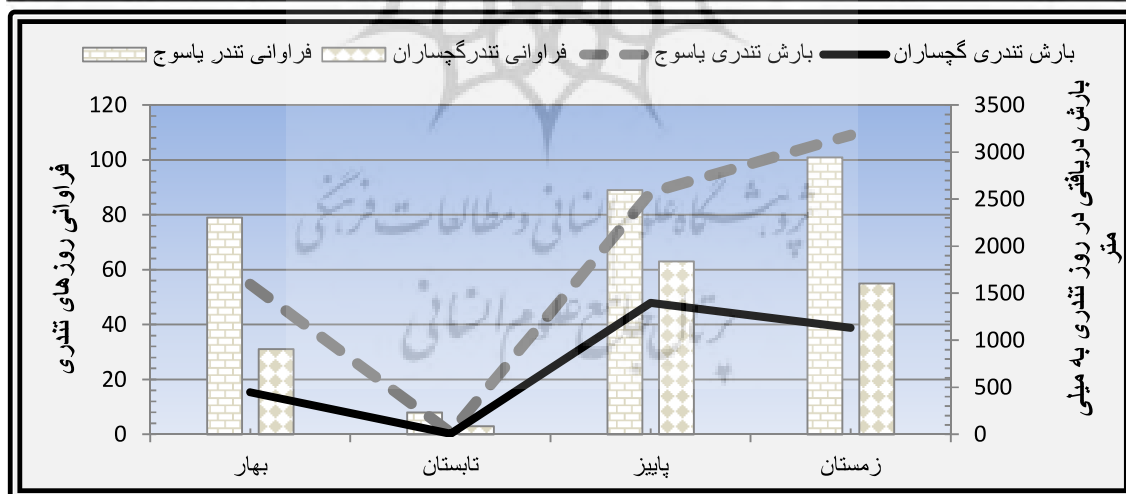
تندri و هم بیشینه‌ی بارش تندri در فصل پاییز به وقوع پیوسته و بیشینه‌ی دوم فصلی فراوانی رخداد تندri این ایستگاه فصل زمستان است. در فصل بهار با ضعیف‌تر شدن حلقه‌ی بادهای غربی، پرفشار آзор به سمت عرضهای بالاتر حرکت می‌کند. این استان نیز در عرضهای پایین قرار گرفته و در همان اوایل بهار پرفشار آзор بر جو آن مستولی گشته و مانع از صعود هوا و بارش باران می‌شود از این رو فصل بهار در این استان فصل کم بارشی است بطوری‌که فقط ۱۲٪ بارش سالانه در این فصل دریافت می‌گردد. بطور متوسط هر فصل ایستگاه یاسوج ۶۹ تندri داشته است و متوسط فصلی لیستگاه گچساران ۲۵ مورد رخداد توفان تندri می‌باشد.

## پراکنش فصلی توفان‌های تندri در استان کهگیلویه و بویر احمد

جدول (۵) و شکل (۴) پراکنش فصلی روزهای تندri را در دو ایستگاه شاخص استان نمایش می‌دهند. در ایستگاه یاسوج بیشینه‌ی فصلی رخداد توفان تندri (بیش از ۳۶٪) در فصل زمستان بوده است. با وجودی که بیشینه‌ی بارش تندri یاسوج در فصل زمستان رخ داده ولی با توجه به اینکه در این فصل اهم بارش یاسوج (بیشینه‌ی بارش زمستانی ایران) دریافت می‌شود، درصد کمتری از بارش فصلی (۳۴٪) را نسبت به فصول دیگر (۵۵٪ بارش پاییز و ۵۲٪ بارش بهار در روزهای تندri دریافت شده) به خود اختصاص داده است. بیشینه‌ی دوم فصل پاییز بوده که ۳۲٪ تندرهای یاسوج در این فصل رخداد داشته است. در ایستگاه گچساران هم بیشینه‌ی رخداد توفان

جدول (۵): فراوانی فصلی روزهای تندri در دو ایستگاه شاخص استان به همراه بارش حاصل از این تندرهای در هر یک از فصول.

	سهم تندri از بارش هر فصل بارش تندri گچساران	فراوانی تندri گچساران	فراوانی تندri یاسوج	فراوانی تندri بارش	فراوانی تندri بارش	فراوانی تندri بارش	فراوانی تندri بارش
بهار	79	28.5	1594.3	52.2	31	20.4	446.7
تابستان	8	2.9	19.6	20.2	3	2.0	4.8
پاییز	89	32.1	2568.6	54.9	63	41.4	1395.3
زمستان	101	36.5	3179.5	34.0	55	36.2	1130.3
mean	69	25	1841	40	38	25	744
							29



شکل (۴): فراوانی فصلی روزهای تندri در دو ایستگاه شاخص استان به همراه بارش حاصل از این تندرهای در هر یک از فصول.

ایستگاه شاخص استان بیشینه‌ی رخداد ماهانه‌ی توفان تندri و همین‌طور مقدار بارش دریافتی حاصل از بارش تندri، ماه دسامبر بوده و کمینه‌ی رخداد آن در ایستگاه یاسوج در ماههای زوئیه و سپتامبر (برای هر ماه ۲ توفان تندri در کل

## پراکنش ماهانه‌ی توفان‌های تندri در استان کهگیلویه و بویر احمد

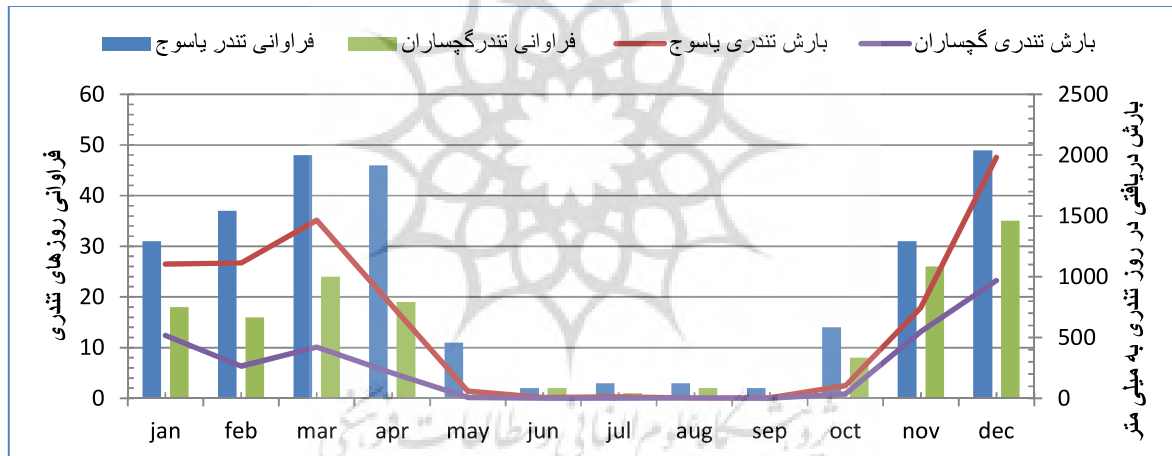
در جدول (۶) و شکل (۵) که فراوانی ماهانه‌ی رخداد توفان تندri استان را نشان می‌دهد ملاحظه می‌شود که برای هر دو

تندری رخ نداده است. بطور متوسط در هر ماه از کل دوره‌ی مطالعه ۲۳ تندر در ایستگاه یاسوج رخداده و برای ایستگاه گچساران این مقدار به کمتر از ۱۳ تندر کاهش یافته است.

دوره‌ی مطالعه) است. ولی کمترین مقدار بارش تندری در ایستگاه یاسوج در ماه آگوست دریافت گشته است. کمینه‌ی رخداد تندر و کمینه‌ی میزان بارش دریافتی حاصل از تندر در ایستگاه گچساران در ماه سپتامبر بوده که در این ماه هیچ گونه

جدول (۶): فراوانی تندر ماهانه و مقدار بارش حاصل از تندر در دو ایستگاه شاخص استان در دوره‌ی آماری (۱۹۹۰-۲۰۱۰).

	فراوانی تندر یاسوج	فراوانی درصد	فراوانی یاسوج	بارش تندر گچساران	فراوانی تندر گچساران	فراوانی درصد	بارش تندر گچساران
jan	31	11.2	1103.3	18	11.8	516.9	
feb	37	13.4	1114.1	16	10.5	264.3	
mar	48	17.3	1465	24	15.8	421.2	
apr	46	16.6	760.1	19	12.5	207.1	
may	11	4.0	59.6	1	0.7	7	
jun	2	0.7	8	2	1.3	1	
jul	3	1.1	12	1	0.7	0.8	
aug	3	1.1	3.2	2	1.3	4	
sep	2	0.7	4.4	0	0.0	0	
oct	14	5.1	105.3	8	5.3	36.2	
nov	31	11.2	746.8	26	17.1	550.3	
dec	49	17.7	1980.2	35	23.0	968.3	
mean	23.1	8.3	613.5	12.7	8.3	248.1	

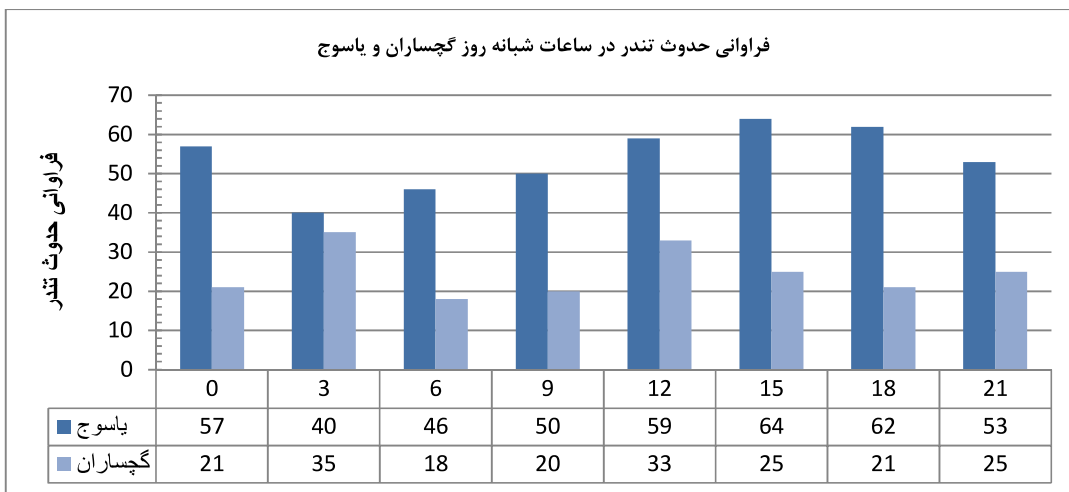


شکل (۵): فراوانی تندر ماهانه و مقدار بارش حاصل از تندر در دو ایستگاه شاخص استان در دوره‌ی آماری (۱۹۹۰-۲۰۱۰).

ظهر (۳۳ مورد رخداد) به وقت گرینویچ (۱۵:۲۴) به وقت محلی) بوده است. در ساعت ۳ به وقت گرینویچ (۶:۲۶) به وقت محلی) در ایستگاه یاسوج کمترین رخداد توفان تندری (۴۰ مورد) به ثبت رسیده است و کمترین فراوانی ساعتی تندری ایستگاه گچساران (۱۸ مورد) بین ساعت‌های ۶ تا ۹ به وقت گرینویچ (۹:۲۴ تا ۱۲:۲۴ به وقت محلی) بوده است. در مجموع وقوع توفان در طول شب روز پراکنده بوده چراکه ۵۰٪ توفان‌های تندری رخ داده در طول شب و ۵۰٪ دیگر هم در طول روز اتفاق افتاده است.

### پراکنش ساعتی توفان‌های تندری در استان کهگیلویه و بویر احمد

شکل (۶) پراکنش تندری را در ساعت‌های شبانه‌روز (به فواصل ۶ ساعته) نمایش داده شده است. بیشترین فراوانی رخداد تندر برای یاسوج در ساعت ۱۵ (۶۴ مورد توفان تندری) و ساعت ۱۸ (۶۲ مورد توفان تندری) به وقت گرینویچ یا به ترتیب در ساعت ۱۸:۲۶ و ۲۱:۲۶ به وقت محلی بوده است. در حالی که برای ایستگاه گچساران این بیشینه‌ها در ۳:۰۰ بامداد (۳۵ مورد رخداد) به وقت گرینویچ (۶:۲۴ به وقت محلی) و ساعت ۱۲



شکل (۶): فراءانی ساعتی رخداد تندri در دو ایستگاه شاخص استان طی دوره‌ی آماری ۲۰۱۰-۱۹۹۰.

محل تشکیل هسته‌ی پرفشار در دریای عمان یک هسته واگرایی جریان باد که با گردش ساعت‌گرد سبب هدایت جریان باد از روی دریای عرب به سمت سودان و جنوب غرب ایران شده و باعث انتقال رطوبت و گرمای فراءان به این مناطق شده است. هسته‌ی رطوبی بروی منطقه‌ی مورد مطالعه ۱۲ گرم بر کیلوگرم است.

شکل (۶-پ) نقشه‌ی همارتفاع و امگای تراز ۸۵۰ هکتوپاسکال را در ۱۳ دسامبر ۱۹۹۱ نشان داده است. پرارتفاع آزور با منحنی همارتفاع ۱۶۲۰ ژئوپتانسیل متر بر فراز شمال ایتالیا بسته شده و زبانه‌های آن در اثر گسترش جنوب سو شمال آفریقا را پوشش داده اند و باعث انتقال هوای سرد به شمال آفریقا می‌شود. پرفشار آزور نیز با منحنی همارتفاع ۱۶۲۰ ژئوپتانسیل متر بر فراز مرکز چین بسته شده و زبانه‌های آن در جهت غرب گسترش پیدا کرده و جنوب شرق ایران را پوشش داده و هسته‌ای ثانویه را بر فراز دریای عمان بوجود آورده است. کم ارتفاع سودانی بر فراز جنوب شرق سودان با منحنی همارتفع ۱۴۹۰ ژئوپتانسیل متر بسته شده است. کم ارتفاع بریده‌ای نیز بر شمال عراق مشاهده می‌گردد.

شکل (۶-ت) نقشه‌ی جریان باد و رطوبت ویژه را در همین روز برای تراز ۸۵۰ هکتوپاسکال به نمایش گذاسته است. همانند روزهای قبل و تراز پایین‌تر بر فراز دریای عمان مرکز واگرایی از جریان باد تشکیل شده و بر فراز ترکیه نیز مرکز

### تحلیل توفان تندri رخداده در مورخه ۱۳ دسامبر ۱۹۹۱

#### شرایط سینوپتیکی و ترمودینامیکی روز ۱۳ دسامبر ۱۹۹۱، روز اوج بارش

شکل (ب) نقشه‌ی امگا و فشار تراز دریا را در روز ۱۳ دسامبر ۱۹۹۱ به تصویر می‌کشد. در این نمونه‌ی مطالعاتی مرکز کم-فشار سودانی با فشار مرکزی ۱۰۰۰/۵ هکتوپاسکال بروی جنوب‌شرق سودان و شمال‌غرب اتیوپی بسته شده است. زبانه این کم‌فشار با راستای جنوب‌غربی - شمال شرقی پس از عبور از شبه‌جزیره‌ی عربستان از سمت جنوب‌غرب وارد ایران شده است و در همان راستا تا شمال‌شرق ایران امتداد دارد. همان‌طور که مشاهده می‌شود پرفشار آزور با فشار مرکزی ۱۰۳۷/۵ هکتوپاسکال بروی فرانسه بسته شده و زبانه‌های آن تمام عرض دریای مدیترانه و شمال آفریقا را در برگرفته و زبانه‌ی شرقی با گسترش خود ترکیه و دریای مازندران در بر گرفته و با پرفشار سیبری یکپارچه شده است. به این ترتیب جریانات شمالی را بروی شرق مدیترانه و مصر تشید کرده و با فرارفت سرد به پشت سامانه‌ی سودانی باعث تقویت آن شده است. همانگونه که در شکل مشاهده می‌گردد میزان امگا در منطقه‌ی مورد مطالعه از ۰/۰۵ تا ۰/۰۱ متغیر است.

شکل (۶-الف) نقشه‌ی جریان باد و رطوبت ویژه را در همین روز برای تراز ۱۰۰۰ هکتوپاسکال به نمایش گذاسته است. در

همین تراز به نمایش گذاشته است. همانطور که در این شکل ملاحظه می‌شود هسته‌ی سرعتی ۱۸ متر بر ثانیه از فراز منطقه‌ی مورد مطالعه عبور کرده است که این سرعت بالای جريان باد باعث تقویت صعود هوا در پایین تراز این تراز شده است.

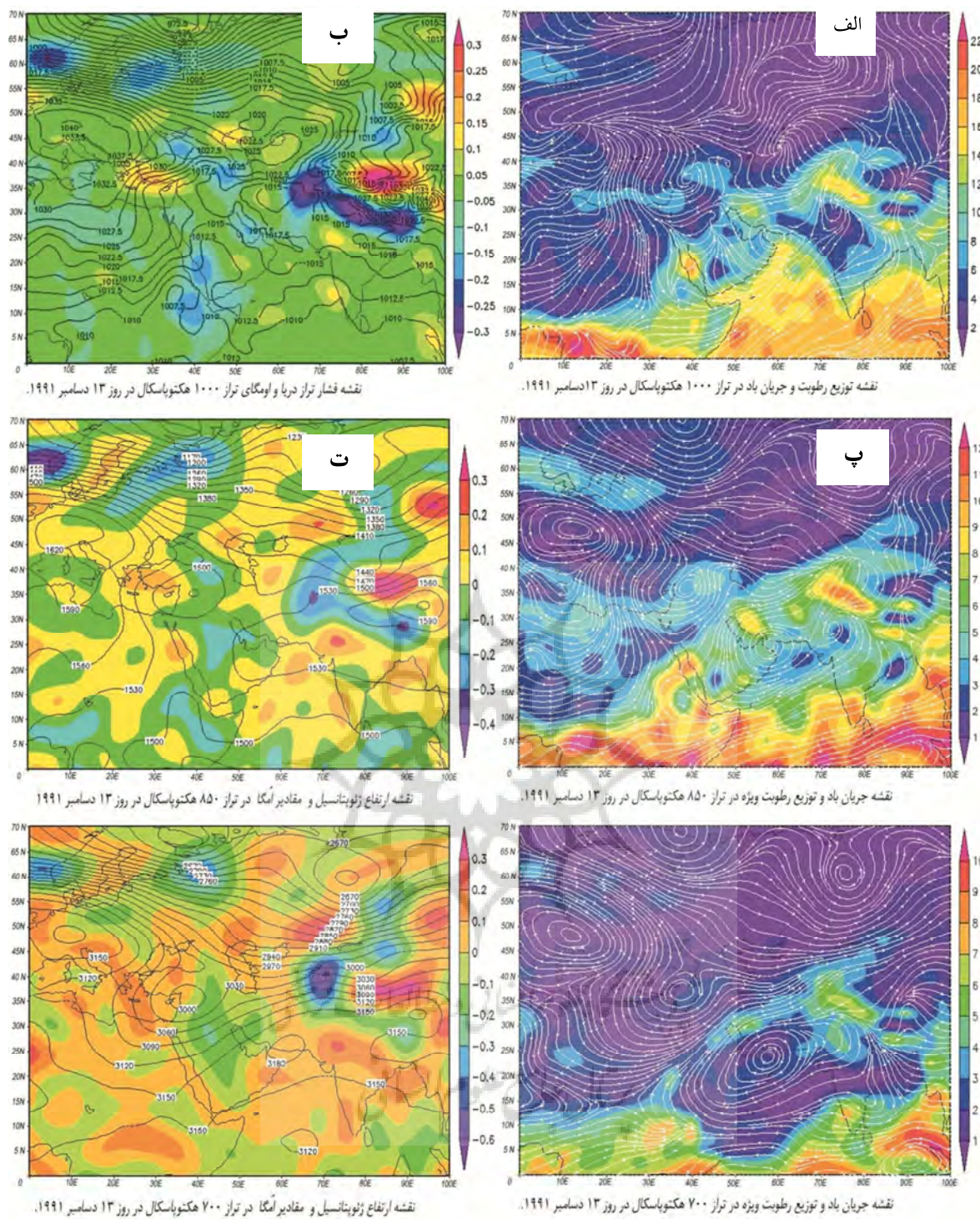
شکل (۶-ح) نقشه‌ی همارتفاع ژئوپتانسیل و امکانات تراز ۵۰۰ هکتوپاسکال را در روز ۱۳ دسامبر ۱۹۹۱ به تصویر کشیده است. همانند ترازهای پایین‌تر کم ارتفاع بریده‌ای بر فراز شرق ترکیه مشاهده می‌گردد که نسبت به روز قبل کمی به سمت شرق حرکت کرده و جنوب غرب ایران را در زیر منطقه‌ی حداکثر وزش توابی مثبت قرار داده است و موجب تزریق ناپایداری در سطوح پایین‌تر شده است. در این روز نیز بر فراز همه‌ی وسعت ایران حرکات صعودی برقرار است چرا که هسته‌ای وسیع از امکانات منفی بر فراز آن سایه افکنده است. بروی منطقه‌ی مورد مطالعه میزان امکانات منفی ۰/۲- پاسکال بر ثانیه است.

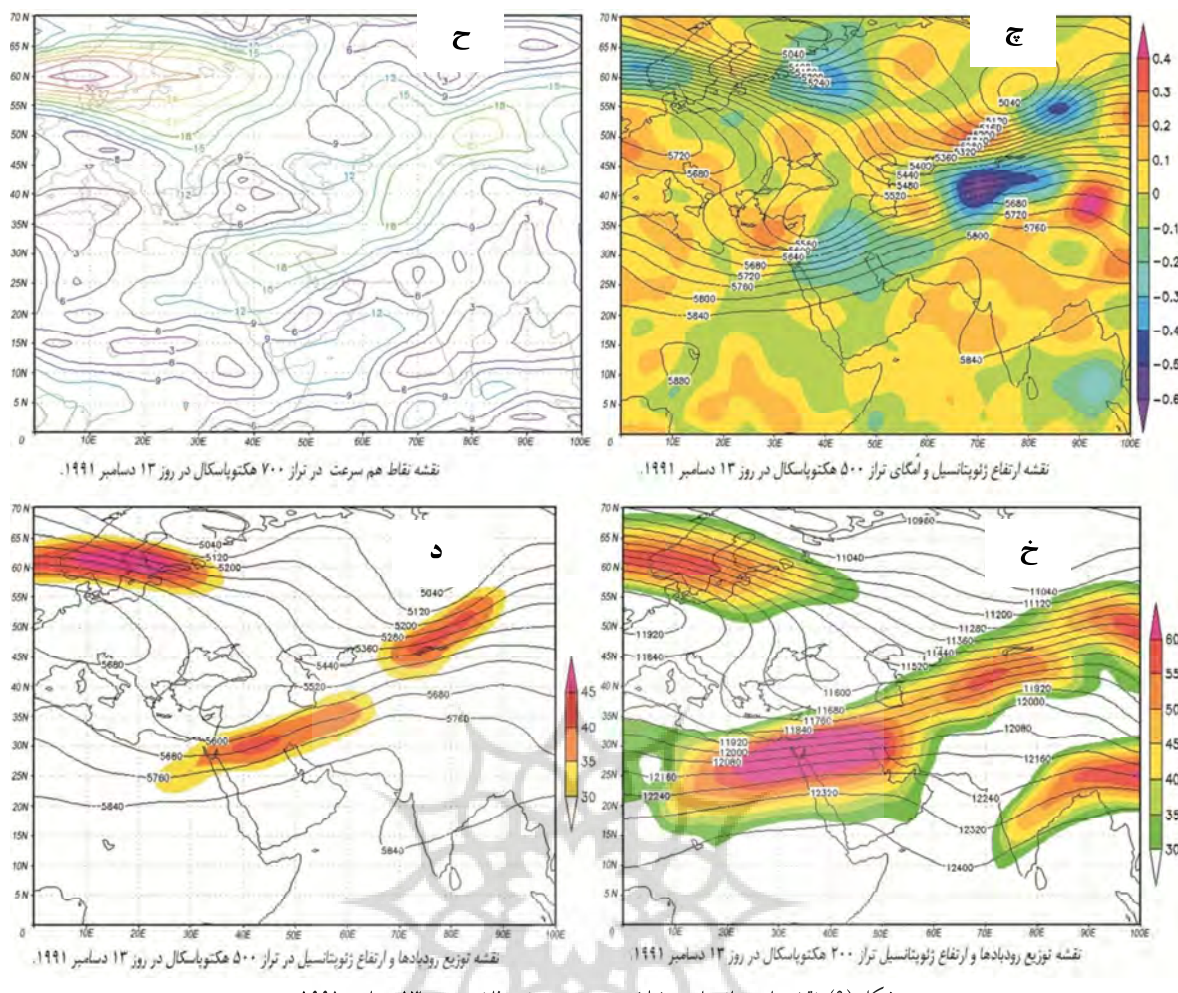
شکل (۶-خ) نقشه‌ی توزیع رودبادها را در تراز ۵۰۰ هکتوپاسکال در ۱۳ دسامبر ۱۹۹۱ را به نمایش می‌گذارد. با توجه به شدت و عمق رودباد جنب حاره در تراز ۲۰۰ هکتوپاسکال، رودباد مذکور تا تراز ۵۰۰ نیز کشیده شده است. در این روز به علت هسته‌ی سرعت رودباد جنب حاره‌ای در جلوی ناوه‌ی تراز ۵۰۰، بین طولهای جغرافیایی ۲۴ تا ۶۵ درجه‌ی شرقی و عرض‌های جغرافیایی ۲۳ تا ۳۹ درجه شمالی با سرعت ۴۵ متر بر ثانیه تشکیل شده است و زبانه‌ی آن با سرعت ۴۰ متر بر ثانیه از فراز منطقه‌ی مورد مطالعه گذشته است و سیکلون سطح زمین را همراهی و تقویت کرده است. شکل (۶-د) نقشه‌ی توزیع رودبادها را در تراز ۵۰۰ هکتوپاسکال در ۱۳ دسامبر ۱۹۹۱ را به نمایش می‌گذارد. همانطور که مشاهده می‌شود در این تراز بادهای با سرعت بیش از ۵۰ متر بر ثانیه بر فراز منطقه مورد مطالعه جريان داشته است و بیشنه‌ی سرعت در بین طولهای ۲۲ و ۵۱ درجه‌ی شرقی و عرضهای ۲۴ تا ۳۳ درجه‌ی شمالی قرار گرفته است.

همگرایی جريان باد مشاهده می‌شود. در این روز در تراز ۸۵۰ هکتوپاسکال بر فراز جنوب‌غرب ایران و سودان هسته‌های رطوبی تشکیل شده است که حاصل فرارفت هوای گرم و مرطوب از فراز دریای عرب به این مناطق بوده است.

شکل (۶-ث) نقشه‌ی همارتفاع ژئوپتانسیل و امکانات تراز ۷۰۰ هکتوپاسکال را در روز ۱۳ دسامبر ۱۹۹۱ به تصویر کشیده است. در این نقشه مرکز کم ارتفاع بریده‌ای همانند تراز پایین‌تر با منحنی همارتفاع ۳۰۰۰ ژئوپتانسیل متر بروی شمال مصر و جنوب ترکیه بسته شده است. با نفوذ جنوب‌سوی این مرکز چرخندی با هسته‌ی هوای سرد باعث ایجاد ناوه‌ی عمیقی بروی مصر و سودان شده است. این ناوه‌ی عمیق شده با تزریق توابی مثبت بروی منطقه‌ی مورد مطالعه باعث تقویت هرچه بیشتر سامانه‌ی سودانی و تبدیل این سامانه‌ی حرارتی به سامانه‌ی ترمودینامیکی شده است. در این روز منطقه‌ی مورد مطالعه در بهترین موقعیت از جلو ناوه قرار دارد. جریانات نصف‌النهاری جنوب‌غربی شرایط ناپایداری مناسب را در لایه‌ی میانی وردسپهر فراهم نموده است. در این روز هسته‌ای از امکانات منفی بر فراز منطقه‌ی مورد مطالعه مشاهده می‌گردد که میزان آن از ۰/۲- تا ۰/۱- پاسکال بر ثانیه متغیر است. و بر فراز یاسوج که در این روز ۱۲۰ میلی‌متر بارش داشته است، امکاً به حداکثر رسیده است که نشان از حرکات صعودی در پایین‌تر از تراز ۷۰۰ هکتوپاسکال می‌باشد.

شکل (۶-ج) نقشه‌ی جريان باد و رطوبت ویژه را در همین روز برای تراز ۷۰۰ هکتوپاسکال به نمایش گذاشته است. هسته‌ی واگرایی جريان باد بر فراز دهلي نو در این روز بر فراز مسقط ظاهر شده است و باعث فرارفت هوای گرم و مرطوب از فراز دریای عرب و عمان به منطقه‌ی مورد مطالعه و سودان و اتیوپی شده است که بر فراز منطقه‌ی مورد مطالعه هسته‌ی رطوبی ۶ گرم بر کیلو گرم و بر فراز سودان و اتیوپی نیز هسته‌ی رطوبی ۹ گرم بر کیلو گرم را بوجود آورده است. شکل (۶-چ) نیز میزان سرعت باد را در این تراز برای





### حرکت سریع تر پرفشار جنب حاره به سمت عرضهای بالاتر

نسبت به حرکت جنوب‌سوی خود در فصل پاییز، استان کهگیلویه و بویر احمد در زیر سیطره‌ی پرفشار آزور قرار می‌گیرد. بنابراین صعود هم‌رفتی حاصل از گرم شدن سطح زمین در بعد از ظهرهای بهار، از طرف ترازهای بالاتر حمایت نمی‌شود و ناپایداری‌های محلی آن نمی‌توانند تا سطح اشیاع شدن، بسته‌ی هوا بسته‌ی هوا را صعود دهند. بیشترین فراوانی ماهانه‌ی رخداد تند در استان کهگیلویه و بویر احمد متعلق به ماه دسامبر بوده است که در مجموع بیش از یک پنجم از روزهای تندی رخداده در استان کهگیلویه و بویر احمد در ماه دسامبر اتفاق افتاده است. بیشینه‌ی رخداد توفان تندی در ساعت‌های پاییز عناصر اقلیمی در ایستگاه‌های سینوپتیک برای دو ایستگاه استان کهگیلویه و بویر احمد متفاوت بوده است. در

### نتیجه گیری

بارش تندی بخش مهمی از بارش دریافتی استان کهگیلویه و بویر احمد می‌باشد چرا که در مجموع از کل بارش دریافتی ایستگاه یاسوج و گچساران در دوره‌ی آماری ۱۹۹۰ تا ۲۰۱۰ به ترتیب ۴۱٪ و ۳۰٪ آن حاصل بارش‌های تندی بوده است و این بارش‌های تندی برای معاش مردم این استان که اغلب مشغول به دامپروری و کشاورزی هستند، علی‌رغم زیان‌هایی که به‌دلیل دارد بسیار حیاتی است. پراکنش فصلی رخداد توفان تندی در اکثر مناطق ایران بیشینه‌ی حدوث تند در فصل بهار بوده است. و این در حالی است که بیشینه‌ی رخداد توفان تندی در استان کهگیلویه و بویر احمد در فصل زمستان بوده است. در این استان فراوانی حدوث تند در فصل بهار بعد از فصول زمستان و پاییز قرار دارد. در فصل بهار به دلیل

زمینه‌ی مطالعه‌ی توفان‌های تندری و دیگر پدیده‌های جوی نیاز به داده‌هایی از جو بالا است که فقط در چند ایستگاه محدود از کشور اقدام به ثبت آنها توسط رادیوسوندها می‌شود. لذا پیشنهاد می‌گردد که حداقل برای هر ایستگاه سینوپتیک در سطح کشور داده‌های جو بالا را پایش و ثبت کنند تا بتوان تصویری بهتر از ساختار لایه‌های جوی بر فراز ایران داشته باشیم و نتایج مطالعات را بتوان به واقعیت نزدیکتر کرد. در نهایت توصیه می‌شود که در مطالعه‌ی توفان‌های تندری به منظور واکاوی فعل و انفعالات صورت گرفته در ابرهای تندری و میزان رطوبت آن و ضخامت ابر و ... از داده‌های تصاویر ماهواره‌ای استفاده گردد.

#### منابع

- ۱- آفاسی، نوشین (۱۳۹۰)، تحلیل سینوپتیکی توفان‌های تندری شمال غرب، پایان‌نامه‌ی کارشناسی ارشد گروه جغرافیای طبیعی دانشگاه شهید بهشتی.
- ۲- افتادگان خوزانی، اصغر (۱۳۹۱)، واکاوی همدیدی بارش‌های مخاطره‌آمیز فراگیر در شمال غرب ایران، پایان‌نامه‌ی کارشناسی ارشد، گروه جغرافیای طبیعی، دانشکده‌ی جغرافیای دانشگاه تهران.
- ۳- خالدی، شهریار، فرامرز خوش‌اخلاق و مهدی خزایی (۱۳۹۰)، تحلیل همدیدی توفان‌های تندری سیلاساز استان کرمانشاه، مجله‌ی علمی-پژوهشی چشم‌انداز جغرافیایی، شماره‌ی ۱۴-۳۲، صص ۱۲-۱۴.
- ۴- خوشحال دستجردی، جواد و تیمور علی‌زاده (۱۳۸۹)، بررسی همدیدی و ترمودینامیک رگبار موج سیلاپ ۲۴/۶ در استان خراسان رضوی، فصل‌نامه‌ی مدرس علوم انسانی، دوره‌ی ۱۴، شماره‌ی ۴، صص ۱۰۹-۸۷.
- ۵- علیجانی، بهلول و محمد رضا کاویانی (۱۳۷۳)؛ مبانی آب و هوا شناسی، تهران، انتشارات سبز.
- ۶- علیجانی، بهلول (۱۳۸۸)، اقلیم شناسی سینوپتیک، انتشارات سمت، تهران.
- ۷- علیجانی، بهلول؛ آب و هوای ایران، چاپ سوم، انتشارات پیامنور، ۱۳۷۹.
- ۸- فرج زاده - مخاطرات اقلیمی - ۱۳۹۲

ایستگاه گچساران بیشینه‌ی حدوث در ساعت ۳ به وقت گرینویچ و یا ۶:۳۰ دقیقه به وقت محلی بوده است در حالی که برای ایستگاه یاسوج در ساعت ۱۵ گرینویچ یا ۱۸:۳۰ دقیقه به وقت محلی بوده است. ولی برای هر دو ایستگاه در ماه دسامبر دریافت می‌گردد، ساعت ۳ به وقت گرینویچ و یا ساعت ۶:۳۰ به وقت محلی بوده است. عامل توپوگرافی و ناهمواری در ایجاد و تقویت و تشدید توفان‌های تندری در استان کهگیلویه و بویر احمد نقش بسزایی دارد. همچنین نتایج یافته‌های حاصل از بررسی‌های سینوپتیکی و ترمودینامیکی توفان‌های تندری همراه با بارش نشان داد که عامل بوجود آورنده این تندرها، سامانه‌های سودانی بوده است. این ساماندها با خصوصیت حاره‌ای خود و به دلیل برخورداری از پتانسیل رطوبت پذیری بالا (به دلیل شکل گیری بروی خشکی‌های گرم جنب استوا) و دریافت رطوبت فراوان از دریاهای گرم عرب و عمان و دریای سرخ از انرژی پتانسیل بالایی برخوردار هستند. در نتیجه در صورت وجود شرایط مناسب و حرکات بالاسو، به دلیل آزادسازی گرمای بادرروی قابل توجه توفان‌های تندری شدیدی را بروی استان ایجاد می‌کند. لازم به ذکر است که توپوگرافی منطقه در تقویت و تشدید این توفان‌ها بی‌تأثیر نبوده است.

#### پیشنهادات:

از آنجا که توفان‌های تندری یک پدیده‌ی میان مقیاس یا خرد مقیاس می‌باشد لذا داده‌های مرکز ملی پیش‌بینی آمریکا (NCEP) که ابعاد آنها ۲/۵ درجه‌ی جغرافیایی در ۲/۵ درجه‌ی جغرافیایی است، برای بررسی توفان‌های تندری مناسب نیستند چرا که مساحتی که هر یک از این پیکسل‌ها در عرض ۳۰ درجه جغرافیایی پوشش می‌دهد به بیش از ۴ برابر مساحت استان کهگیلویه و بویر احمد بالغ می‌شود. بنابراین توصیه می‌شود که برای مطالعه‌ی تندرها از داده‌هایی با ابعاد کوچکتر استفاده گردد. و اینکه برای سنجش ناپایداری در

- 21- Easterling, D. R; Regionalization of thunderstorm rainfall in the contiguous U.S Int. J. Climatol. Vol.9, 1989,pp74-78.
- 22- Mic. Loredana-Elena. (2011). Thunderstorms phenomena in the Prahova's corridor, outstanding climatic hazards, Riscuri si catastrofe. Vol. 9, No. 1: 133-145.
- 23- Manzato, A. 2006. The 6 h climatology of thunderstorms and rainfalls in the friuli Venezia Giulia plain. Atmospheric Research, xx(article in press). 13 pgs.
- 24- Mohee. Faizul M, Miller. Craig. (2010).Climatology of thunderstorm for North Dakota,2002–2006, Metrology and climatology. 49: 1881-18.
- 25- Michealides, S.C and et al, 2008. Synoptic, Thermodynamic and Agroeconomic Aspects of Sever Hail Events in Cyprus. Natural Hazards Earth System Science, Vol. 8(3), pp. 461-471.
- 26- Siedlecki, Mariusz, 2009. Selected instability indicec in europe. Theoretical Applied Climatology, Vol. 96,pp. 85-94.
- 27- Stringer&et al, foundations of Climatology - Delhi : Surjeet Publications, 1982.
- 28- Susanna Bielec-Be, Kowska, 2003. Long-term variability of thunderstorm occurrence in Poland in the 20<sup>th</sup> century. Atmospheric Research 67-68, 2003,pp 35-52.
- 29- Tubbs,M.A.(1972). Summer thunderstorm over southern California. Monthly Weather Review,pp 37-42.
- 30- Wallace, M. J.(1975).Diurnal variation in precipitation and thunderstorm frequency over the conterminous U.S.A, Monthly Weather Review,103,pp106-119.
- 31- Xin Yang, zhanyu Yao, zhanqing Li,tianyi fn, 2013. Heavy air pollution suppresses summer thunderstorms in central china. Journal of atmospheric and Solar, Terrestrial Physics 95-96, pp28-40.
- 32- <http://www.irimo.ir/services/climate/813.html>
- 9- قویدل رحیمی، یوسف(۱۳۸۹)، کاربرد شاخص‌های ناپایداری جوی برای آشکارسازی و تحلیل دینامیک توفان تندری روز ۱۳۸۹/۲/۵ تبریز، فصلنامه علمی- پژوهشی فضای جغرافیایی، سال یازدهم، شماره ۳۴، صص ۱۸۲-۲۰۸.
- 10- کمال امیدوار- اقلیم شناسی دینامیک- ۱۳۸۹
- 11- میراحمدی، اکبر(۱۳۹۱)، بررسی ویژگی‌های آماری توفان تندری در کوهزنگ بختیاری، همایش ملی انتقال آب بین حوضه‌ای (چالش‌ها و فرصت‌ها)، صص ۱-۶.
- 12- لشکری، حسن و میترا امینی(۱۳۸۹)، تحلیل سینوپتیک و پهنه‌بندی بارش تگرگ در خراسان بزرگ برای دوره‌ی آماری ۲۰۰۵-۱۹۹۶، نشریه‌ی جغرافیا و برنامه‌ریزی دانشگاه تبریز، شماره‌ی ۳۱، ص ۵۱-۱۰۸.
- 13- لشکری، حسن(۱۳۸۲)؛ مکانسیم تکوین و توسعه‌ی مرکز کم فشار سودان و نقش آن بر روی بارش‌های جنوب و جنوب غرب ایران، پژوهش‌های جغرافیایی، شماره‌ی ۴۶، ص ۱۸.
- 14- لشکری، حسن(۱۳۹۰)، اصول و مبانی تهیه و تفسیر نقشه‌ها و نمودارهای اقلیمی، انتشارات دانشگاه شهید بهشتی، تهران.
- 15- لشکری، حسن(۱۳۹۰)؛ تهیه و تفسیر نقشه و نمودارهای اقلیمی، انتشارات دانشگاه شهید بهشتی، تهران.
- 16- Changnon, S (2000). Trends in hail in the United state, Atmospheric Research ,No 64.
- 17- Changnon, S, A, (2001), "Thunderstorm rainfall in the conterminous United States", Bull. Amer. Meteor. Soc., 82(9): 1925-1940,pp43-49.
- 18- Changnon, S, A; Measures of economic impacts of weather extremes;Bull .Amer. Meteor. Soc, 84(12, 2003,pp24-27.
- 19- D.K.Sharmaa, Jag dish rain, M. Israailb, p. Subrahmanyamc, P. Choprac, S.C.Gargc,2004. Enhancement in ionospheric temperatures during Thunderstorms. Journal of Atmospheric and Solar – Terrestrial Physics 66,2004,pp 51-56.
- 20- Davis. N. E.. (2012). Diurnal variation of thunder at Heathrow airport, London, Weather. 24: 66-72.